



ISSN 0033 - 8486

РАДИОТЕХНИКА

1984
2

рования параметр g_1 выбран на рис. 1, 3 в качестве аргумента. Такое построение позволяет вследствие слабой зависимости δ_i от g_1 ориентировочно оценить δ_i до проведения основных расчетов.

При критическом режиме и $\lambda > 0,47$ у функции $\delta_i = f(g_1, \lambda, a)$ появляются две особенности — неоднозначность и наличие минимального значения g_1 для каждого λ , порожденные, очевидно, специфическим выбором системы параметров. Стрелками на рис. 2 показано направление увеличения τ .

Иногда при критическом режиме задается допустимая величина δ_i . Тогда из (1) можно исключить зависимость от g_1 и производить точный расчет δ_i , пользуясь рис. 4.

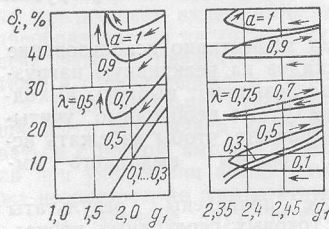


Рис. 3

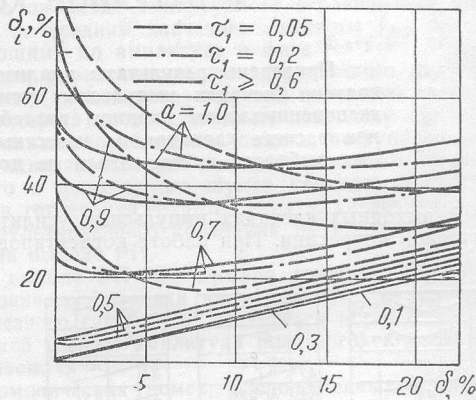


Рис. 4

Все графики рис. 1—4 построены для следующих диапазонов изменения параметров, определенных из анализа практически встречающихся случаев: $a \in (0,1 \div 1)$; $g_1 \in (0 \div 2,5)$; $\delta_i = 5, 10, 20\%$ (для колебательного режима); $\lambda = 0,1; 0,25; 0,5; 0,75$.

На рис. 4 $r_1 = \lambda t_{1y}$, где t_{1y} — нормированное время установления фронта. Связь между t_{1y} и t_1 дана в [3].

СПИСОК ЛИТЕРАТУРЫ

1. Агаханян Т. С. Линейные импульсные усилители.—М.: Связь, 1970.
2. Цыкин Г. С., Рында А. И. Радиотехника, 1972, т. 27, № 5.
3. Баланов А. Т., Волосков А. В., Волоскова Н. М. и др. Электросвязь, 1977, № 3.

Поступила после доработки 11 апреля 1983 г.

УДК 621.372.061

В. В. КОНИН

РАСЧЕТ МОСТОВЫХ УСТРОЙСТВ СВЧ

Рассматриваются мостовые устройства (МУ) СВЧ кольцевого типа с длиной кольца $1,5\Lambda_0$; Λ_0 ; $0,5\Lambda_0$. Выводятся формулы для расчета волновых сопротивлений участков кольца МУ с требуемым распределением мощности и произвольными сопротивлениями плеч. Приводятся схемы МУ с плечами, включенными в кольцо по параллельной, последовательной и смешанной схемам.

Мостовые устройства (МУ) применяются в интегральных схемах (ИС) СВЧ. Выполнение ИС СВЧ на микрополосковой, щелевой, копланарной линиях и их комбинациях позволяет полнее реализовать такие свойства МУ, как заданное деление мощности, трансформацию сопротивлений, развязку при включении плеч в кольцевую часть моста параллельно или последовательно. МУ можно использовать в таких режимах, когда к плечам подключены нагрузки с произвольным активным сопротивлением, например, линии передачи, полупроводниковые элементы, резисторы и т. д. Данные по расчету МУ, работающих в таких условиях, отсутствуют.

В настоящей работе для МУ, плечи которых являются произвольными активными нагрузками, определены волновые сопротивления участков кольца, обеспечивающие

требуемое деление мощности, идеальное согласование плеч и развязку на средней частоте. Рассчитываются наиболее употребительные МУ: «гибридное кольцо» длиной $1,5\lambda_0$ ^[1] (рис. 1, а—д), симметричный кольцевой мост^[1, 2] (рис. 1, е), симметричный мост с последовательным включением плеч (рис. 1, ж), двухшлейфный ответвитель^[1]

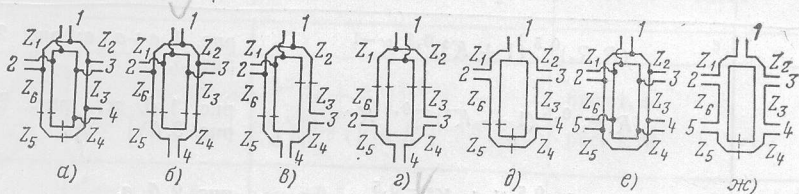


Рис. 1

(рис. 2, а), ответвители с последовательно и параллельно включенными плечами (рис. 2, б—е), кольцевой делитель (U -мост^[1]) (рис. 3, а), кольцевой делитель с последовательными боковыми плечами (рис. 3, б).

МУ общего вида представляет собой линию, свернутую в кольцо (ЛСК), выполненную из каскадно включенных отрезков линий длиной $\lambda_0/4$ (λ_0 — длина волны в линии передачи, соответствующая средней частоте). На расстояниях, кратных $\lambda_0/4$, в

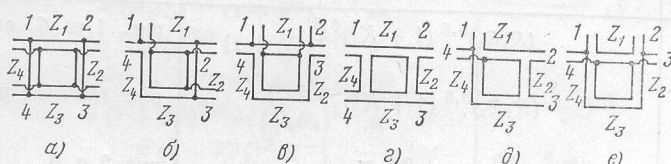


Рис. 2

ЛСК включаются линии передачи (плечи), являющиеся вводами или выводами энергии. На рис. 1—3 цифрами 1—5 обозначены плечи МУ с сопротивлениями $R_1—R_5$, волновые сопротивления четвертьвольновых отрезков ЛСК обозначены $z_1—z_6$.

Принцип работы МУ заключается в следующем. При возбуждении моста с любого из плеч по СКЛ распространяются две волны навстречу друг другу и в СКЛ устанавливается стоячая волна. Если заданы сопротивления $R_1—R_5$, то можно выбрать такие $z_1—z_6$, при которых напряжение или ток в определенных узлах стоячей волны равны нулю. В сечения СКЛ, в которых ток равен нулю, включаются последовательные плечи, а в сечениях, в которых напряжение равно нулю, включаются параллельные плечи. Плечо, в котором напряжение (ток) равно нулю, называется развязанным. Для схем (рис. 1—3) развязанные плечи 1 и 4, 2 и 3, за исключением МУ рис. 1, е, ж, для которых четвертое плечо заменено двумя — 4 и 5. При подаче энергии в плечо 1 (4) она распределяется между плечами 2 и 3 для схем рис. 1—3, при подаче энергии в плечо 2 (3) она распределяется между плечами 1 и 4 для схем рис. 1, а—д и рис. 2, 3; при подаче энергии в плечо 2 (3) схемы рис. 1, е, ж она распределяется между плечами 1 и 5, 4.

Формулы для расчета $z_1—z_6$ получены методом^[2], обобщенным на МУ с последовательно включенными плечами. СКЛ разрывалась в сечении, в котором подключено развязанное плечо. Концы СКЛ, появляющиеся в месте разрыва, нагружались короткозамкнутыми нагрузками (для сечения, в котором напряжение равно нулю) или нагрузками с бесконечно большим сопротивлением (для сечения, в котором ток равен нулю). В результате получалась разветвленная на два канала цепь. Далее, используя свойства четвертьвольнового трансформатора, короткозамкнутой четвертьвольновой и разомкнутой полуволновой линии, методом свертывания^[2] рассчитывали входное сопротивление разветвленной цепи и приравнивали входному сопротивлению плеча, с которого возбуждалось МУ. Применяя подобную операцию для всех плеч и решая систему уравнений, определяли сопротивления $z_1—z_6$ через сопротивления плеч $R_1—R_5$ и коэффициент деления по мощности K^2 .

Расчетные формулы для схем рис. 1—3 сведены в таблицу.

В таблице для схем рис. 1—3 $K = |S_{21}| / |S_{31}|$, где S_{21} , S_{31} — коэффициент матрицы рассеяния МУ.

Приведенные ниже соотношения позволяют рассчитать волновые сопротивления всех участков МУ в зависимости от требуемого деления мощности и заданных или

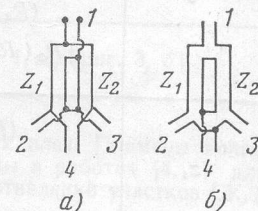


Рис. 3

Сопротивление	Формула	Схема
1	2	3
z_1	$(R_1 R_2)^{0,5} (1 + K^2)^{0,5} K^{-1}$	рис. 1, $a \div e$, e ; рис. 2, $\varepsilon \div e$; рис. 3, a
	$(R_1 R_2)^{0,5} (1 + K^2)^{-0,5} K +$	рис. 1, ∂ , ε ; рис. 2, $a \div e$; рис. 3, b
	$(R_2 R_4)^{0,5} (1 + K^2)^{-0,5}$	рис. 2, b , e
	$(R_1 R_3)^{0,5} (1 + K^2)^{-0,5}$	рис. 1, ε ; рис. 2, e ; рис. 3, b
z_2	$(R_2 R_3)^{0,5} (1 + K^2)^{0,5}$	рис. 2, ∂ , e
	$(R_1 R_3)^{0,5} (1 + K^2)^{0,5}$	рис. 2, e
	$(R_1 R_3)^{0,5} (1 + K^2)^{-0,5} +$	рис. 1, a , b , e ; рис. 3, a
	$(R_2 R_3)^{0,5} K$	рис. 1, ∂ , ε ; рис. 3, b
z_3	$(R_2 R_3)^{0,5} K^{-1}$	рис. 2, ε , ∂
	$(R_3 R_4)^{0,5} (1 + K^2)^{0,5} K^{-1}$	рис. 1, a , рис. 2, 2
	$(R_3 R_4)^{0,5} (1 + K^2)^{-0,5} K +$	рис. 1, ∂ ; рис. 2, a , 2
	$(R_3 R_{32})^{0,5} (1 + K^2)^{0,5} K^{-1}$	рис. 1, e
z_4	$[R_3 (R_4 + R'_{32})]^{0,5} (1 + K^2)^{-0,5} K$	рис. 1, ε
	$(R_3 R_4)^{0,5} (1 + K^2)^{-0,5} K$	рис. 1, ε , e
	$(R_1 R_4)^{0,5} K$	рис. 2, a
z_5	$(R_1 R_4)^{0,5} K^{-1}$	рис. 2, e
	$(R_2 R_4)^{0,5} (1 + K^2)^{0,5}$	рис. 1, a
	$(R_2 R_4)^{0,5} (1 + K^2)^{-0,5} +$	рис. 1, ∂
z_6/z_5	$(R_2/R_4)^{0,5} (1 + K^2)^{0,5}$	рис. 1, ε , e
z_4/z_3 z_2/z_3	$(R_4/R_3)^{0,5} (1 + K^2)^{-0,5} K$	рис. 1, ε $= z_2/z_3$
	$(R_1/R_3)^{0,5} (1 + K^2)^{0,5}$	рис. 1, e , g
z_5	$(R_2 R_4)^{0,5} (1 + K^2)^{-0,5}$	рис. 1, e
z_1/z_6	$(R_1/R_2)^{0,5} (1 + K^2)^{0,5} K^{-1}$	рис. 1, e

Сопротивление	Формула	Схема
1	2	3
z_6	$(R_2 R_{91})^{0,5} (1 + K^2)^{0,5}$ $[R_2 (R_5 + R'_{91})]^{0,5} (1 + K^2)^{-0,5}$	рис. 1, e рис. 1, ж
z_3/z_4	$(R_3/R_1)^{0,5} (1 + K^2)^{-0,5} = (R_3/R_4)^{0,5} \times$ $\times (1 + K^2)^{-0,5} K$ $(R_3/R_4)^{0,5} (1 + K^2)^{0,5} K^{-1} = (R_1 R_3)^{0,5} \times$ $\times (1 + K^2)^{-0,5} = (R_3 R_4)^{0,5} (1 + K^2)^{-0,5} K$	рис. 2, б рис. 2, д
$\frac{z_2 z_4}{z_3}$	$(R_4 R_2 R_3)^{0,5} (R_2 + R_3)^{-0,5} = (R_3 R_1 R_4)^{0,5} \times$ $\times (R_1 + R_4)^{-0,5} = (R_2 R_4)^{0,5} (1 + K^2)^{0,5} =$ $= (R_1 R_3)^{0,5} (1 + K^2)^{-0,5} =$ $= (R_3 R_4)^{0,5} (1 + K^2)^{-0,5} K$ $(R_1 R_3)^{0,5} (1 + K^2)^{0,5} = (R_3 R_4)^{0,5} \times$ $\times (1 + K^2)^{0,5} = (R_3 R_4)^{0,5} \times$ $\times (1 + K^2)^{0,5} K^{-1}$	рис. 2, е минус
R_{91}	$R_5 R_4 (z_5/z_4)^2 [R_5 + R_4 (z_5/z_4)^2]^{-1}$	рис. 1, е
R_{92}	$R_4 R_5 (z_4/z_5)^2 [R_4 + R_5 (z_4/z_5)^2]^{-1}$	рис. 1, е
$R'_{91} [R_4]$	$R_4 (z_5/z_4)^2, [R_2 + R_3]$	рис. 1, ж, [рис. 3, а]
$R'_{92} [R_4]$	$R_5 (z_4/z_5)^2, [R_3 R_4 (R_2 + R_3)^{-1}]$	рис. 1, ж, [рис. 3, б]

выбранных из конструктивных соображений сопротивлений их плеч. Примеры конструкций МУ, выполненных по большинству схем рис. 1—3, даны в работах [4, 5] для случаев $K=1$, равных сопротивлений плеч и одинаковых сопротивлений участков СКЛ.

СПИСОК ЛИТЕРАТУРЫ

1. Устройства сложения и распределения мощности высокочастотных колебаний / Под ред. З. И. Моделя.— М.: Сов. радио, 1980.
2. Пылакин В. А. Радиотехника, 1973, т. 28, № 9.
3. Трохименко Я. К. Метод обобщенных чисел и анализ линейных цепей.— М.: Сов. радио, 1972.
4. Калина В. Г. Электронная техника, серия I, 1982, вып. 10 и 11.
5. Калина В. Г. Электронная техника, серия I, 1983, вып. 2.

Поступила 25 мая 1983 г.